

بررسی محدوده تشکیل بیوسرامیک‌های کلسیم فسفاتی

مهران صولتی هشجین
استادیار

فتح ا... مضطربزاده
استاد

اسماعیل صلاحی
دانشجوی دکترا

پژوهشگاه مواد و انرژی

چکیده

حدود دو سوم وزن استخوان را ترکیبات کلسیم فسفاتی تشکیل می‌دهد. بنابراین از این دسته از بیوسرامیک‌ها در سال‌های اخیر در جراحی استخوان استفاده زیادی شده است. عامل اصلی مؤثر بر تشکیل فازهای کلسیم فسفاتی در روش محلول عامل pH است. در pH های مختلف فازهایی نظیر کلسیم هیدروژن فسفات یا مونتیت ($\text{CaHPO}_4 \cdot 2\text{H}_2\text{O}$)، کلسیم هیدروژن فسفات دی هیدراته یا برآشیت ($\text{CaHPO}_4 \cdot 2\text{H}_2\text{O}$)، $\text{Ca}_5(\text{PO}_4)_3\text{OH}$ (پدیده می‌آیند. در کار حاضر اثر عامل pH بر تشکیل فسفات هیدراته ($\text{Ca}_5(\text{PO}_4)_3\text{OH}$) و هیدروکسی آپاتیت ($\text{Ca}_5(\text{PO}_4)_3\text{OH}$) پدیده می‌آیند. مواد اولیه مصرفی نیترات کلسیم متبلور رسبو های کلسیم فسفاتی در نسبت مولی ابتدایی $\text{Ca}/\text{P} = 1/67$ بروزی شده است. مواد اولیه مصرفی نیترات کلسیم متبلور ($\text{Ca}(\text{NO}_3)_2 \cdot 4\text{H}_2\text{O}$) و دی‌آمونیوم هیدروژن فسفات ($(\text{NH}_4)_2\text{HPO}_4$) است. دو محلول در دمای 3°C و در محدوده $0 \leq \text{pH} \leq 13$ در $20 \pm 3^\circ\text{C}$ با هم مخلوط شدند و رسبو های به دست آمده با استفاده از تکنیک های پراش پرتو X (XRD) و طیف سنجی فروسرخ (IR) مطالعه شد. همین عمل در مورد رسبو های حرارت دیده در 110°C به مدت یک ساعت نیز تکرار گردید. مقدار کلسیم و فسفر به کمک تکنیک پلاسمای جفت شده (ICP) اندازه گیری گردید. در منعکس تغییرات pH محصول بر حسب تغییرات pH و اکنش کننده‌ها چهار ناحیه قابل مشاهده است. در ناحیه اول ($\text{pH} \leq 4$) رسوبی تشکیل نمی‌شود. ناحیه دوم ($4 < \text{pH} \leq 8$) ناخیه تشکیل مونتیت و برآشیت است و در ناحیه سوم ($8 < \text{pH} \leq 10$) تری کلسیم فسفات هیدراته و هیدروکسی آپاتیت تشکیل می‌شود و ناحیه چهارم ($10 < \text{pH} \leq 12$) منطقه تشکیل هیدروکسی آپاتیت است. در نمونه‌های حرارت دیده نیز در $7 - 6 - 7$ pH فاز بتا - کلسیم پیرو فسفات ($\beta - \text{Ca}_2\text{P}_2\text{O}_7$) پدیده می‌آید و در pH 7 - 8 بر میزان تبلور آن افزوده می‌شود. در این ناحیه فاز بتا - تری کلسیم فسفات یا ویت لوکیت ($\text{Ca}_3(\text{PO}_4)_2$) قابل تشخیص است. در pH 8-9 حضور ویت لوکیت مشهود نمی‌شود و در $10 - 10.5 > \text{pH}$ فاز هیدروکسی آپاتیت حضور کامل دارد.

Study of Conditions of Synthesis of Calcium Phosphate Bioceramics

F. Moztarzadeh
Professor

M. Solati - Hashjin
Assistant Professor

E. Salahi
Ph.D. Student

Materials and Energy Research Center, Ceramic Division

Abstract

Calcium phosphates materials have been used as bioceramics during recent years. When preparing calcium phosphates by precipitation from aqueous solutions, several phases are formed at different pH values, namely calcium hydrogen phosphate (Monetite, CaHPO_4), calcium hydrogen phosphate dihydrate

(Brushite, $\text{CaHPO}_4 \cdot 2\text{H}_2\text{O}$), hydrated calcium phosphate ($\text{Ca}_3(\text{PO}_4)_2 \cdot x\text{H}_2\text{O}$) and pentacalcium phosphate (Hydroxyapatite, $\text{Ca}_{10}(\text{PO}_4)_6(\text{OH})_2$).

In the present study, the starting materials were calcium nitrate ($\text{Ca}(\text{NO}_3)_2 \cdot 4\text{H}_2\text{O}$) and diammonium hydrogen phosphate ($(\text{NH}_4)_2\text{HPO}_4$).

The two solutions at $\text{Ca}/\text{P}=1.67$ molar ratio were mixed at $20 \pm 3^\circ\text{C}$ at $0 \leq \text{pH} \leq 13$ and the precipitates were fired at 1100°C for 1 hour. Heated and unheated precipitates were studied by X-ray diffraction, infrared spectroscopy and inductively coupled plasma techniques. pH variations of products were plotted against pH variations of reactants and four regions could be distinguished:

$0 \leq \text{pH} < 4$ no precipitate, $4 \leq \text{pH} < 8$ Monetite, Brushite and hydrated calcium phosphate, $8 \leq \text{pH} < 10$ structural transition observed and at $10 \leq \text{pH} < 13$ hydroxyapatite was formed. In the heated precipitates beta-calcium pyrophosphate ($\beta - \text{Ca}_2\text{P}_2\text{O}_7$) was developed at pH 6-7 while this phase became well-crystallized at pH 7-8 and tricalcium phosphate (Whitlockite, $\text{Ca}_3(\text{PO}_4)_2$) was developed. Between pH 8-9 this phase observed clearly, at pH 9-10 there is a transitional state and at $\text{pH} > 10.5$ hydroxyapatite was completely developed.

مقدمه

اطمینان از عدم حضور دی اکسید کربن، ۳۰ دقیقه قبل از انجام واکنش، گاز نیتروژن به راکتور دمیده می شد. این راکتور شامل دری با پنج دهانه بود، دو دهانه برای ورود و خروج گاز نیتروژن، دو دهانه برای سنسور pH متر (Metrohm مدل ۶۹۱) و سنسور دما و دهانه پنجم محل قرار گرفتن فانل شیشه ای محتوی محلول دی آمونیوم هیدروژن فسفات. محلول نیترات کلسیم در راکتور قرار گرفت و در حالی که توسط همزن مغناطیسی هم زده می شد، محلول دی آمونیوم هیدروژن فسفات به صورت قطره قطره و در مدت 60 ± 5 دقیقه به راکتور وارد گردید. بلافاصله پس از پایان واکنش در مواردی که رسوب تشکیل شد، سوپسانسیون به کمک سانتریفیوژ (10 دقیقه و 4500 rpm) از محلول جدا گردید. رسوب حاصل پس از خشک شدن در دمای 70°C به مدت 15 ساعت، تحت مطالعه اند $70 \pm 10^\circ\text{C}$ قرار گرفت و مقدار کلسیم و فسفر آن به کمک تکنیک ICP (Perkin Elmer L10-1433) و IR (Philips PW3710, CuK α)XRD اندازه گیری شد. بخشی از رسوب در دمای 1100°C و به مدت یک ساعت در بوته آلمینیایی و در کوره الکتریکی (Carbolite HTF ۱۸/۱۶) با سرعت گرمایش $20^\circ\text{C}/\text{min}$ و سرعت سرمایش $15^\circ\text{C}/\text{min}$ حرارت دید و از آنها الگوی XRD و IR تهیه گردید و مورد مطالعه قرار گرفت.

بیوسرامیک ها دسته ای از بیوماتریال ها هستند که جهت بازسازی و رفع نواقص ساختمانی اسکلتی- ماهیچه ای بدن انسان نظیر نقایص موجود در زانو یا مفصل ران، کاشت دندانی، بازسازی فک، ضایعات پریودنتال، تثبیت استخوان فک، پرکردن حفرات استخوانی و به کار می روند. بنابراین در سال های اخیر مورد توجه محاذل پزشکی بوده اند [۱-۵]. در خانواده بیوسرامیک ها، کلسیم فسفاتها به دلیل مشابهت فازی و شیمیایی که با مینمال های تشکیل دهنده استخوان دارند [۷-۱] از اهمیت ویژه ای برخوردار هستند. یکی از روش های تهیه کلسیم فسفات ها روش رسوب گیری از محلول است [۸-۱۰] که در این زمینه متغیرهای مؤثر بر انجام واکنش های شیمیایی نظیر pH، دما، غلظت واکنش کننده ها، نسبت مولی Ca/P، اتمسfer واکنش و زمان اختلاط محلول ها مورد بررسی قرار می گیرد [۱۱-۱۲]. در کار حاضر عامل pH به عنوان متغیر در نظر گرفته شده است و بقیه عوامل ثابت نگهداشته شده اند.

۲- روش کار

۱/ مول نیترات کلسیم چهار آبه ($\text{Ca}(\text{NO}_3)_2 \cdot 4\text{H}_2\text{O}$) در 250 cc آب مقطور و 0.6 مول دی آمونیوم هیدروژن فسفات ($(\text{NH}_4)_2\text{HPO}_4$) در 250 cc آب مقطور در دمای $20 \pm 2^\circ\text{C}$ حل شدند. pH هر دو محلول در فاصله $12/2$ - $12/1$ توسط اسید نیتریک (در محدوده اسیدی) و محلول آمونیاک (در محدوده قلیایی) تنظیم گردید. جهت

۴- نتایج و بحث

در فاصله $pH < 4$ رسوی تشکیل نشد و در فاصله $6 \leq pH < 4$ مقدار رسوی جهت مطالعات دستگاهی بسیار کم بود. بنابراین مطالعات در مورد $pH \leq 6 \leq 12/2$ انجام گردید.

الف) مطالعه رسوی حرارت ندیده

۱-۳- پراش پرتو X (XRD)

مطالعه الگوی پراش پرتو X نشان داد که در فاصله $pH = 6$ فاز مونتیت ($CaHPO_4$) و $pH = 8$ ($CaHPO_4 \cdot 2H_2O$) فاز غالب است و اثراتی از فاز برآشیت ($CaHPO_4 \cdot 2H_2O$) نیز وجود دارد. همچنین پیک نیترات آمونیوم به عنوان محصول فرعی واکنش دیده می شود. الگوی پراش پرتو X نشان می دهد که وضعیت تبلور مونتیت در $pH = 8$ و $pH = 6$ بهتر است. در $pH = 9$ دیگری از خانواده کلسیم فسفاتها پدید می آید که در مراجع [۱۱ و ۸، ۶] مختلف به آن کلسیم فسفات آمورف، کلسیم فسفات هیدراته، تری کلسیم فسفات هیدراته یا کلسیم فسفات آپاتیتی می گویند. فرمول شیمیایی این فاز $Ca_3(PO_4)_2xH_2O$ ($Ca_3(PO_4)_2 \cdot 2H_2O$) است و در کار حاضر XCP نامیده شده است. الگوی پراش پرتو X آن بسیار به الگوی هیدروکسی آپاتیت شبیه است که برخی [۱۱ و ۸، ۶] علت آن را به حضور یون های Ca^{+2} و PO_4^{3-} در مواضع آپاتیتی نسبت می دهند، در حالی که یون های OH^- حضور ندارند. در $pH = 9$ پیک های مونتیت نیز دیده می شوند، ولی از پراشیت اثری وجود ندارد.

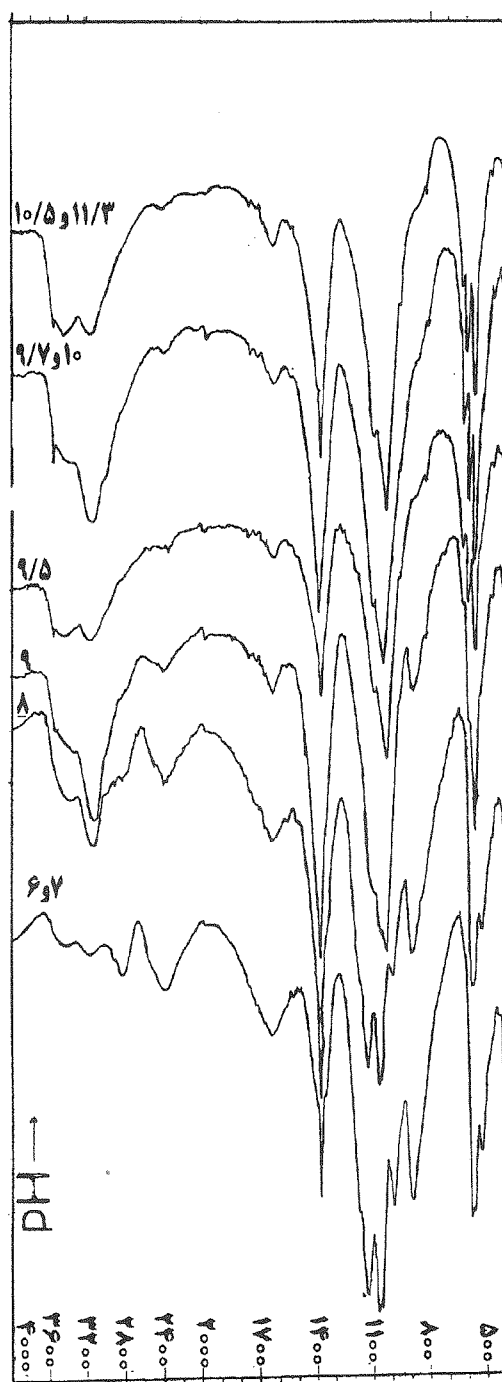
در $pH = 5$ پیک های مونتیت حضور دارند و XCP و هیدروکسی آپاتیت (HA) تشکیل شده است. از $pH = 7$ تغییرات فازی شدیدی پدید می آید و فاز هیدروکسی آپاتیت ($Ca_{10}(PO_4)_6(OH)_2$) ($Ca_{10}(PO_4)_6(OH)_2 \cdot 2H_2O$) تشکیل می شود که از $pH = 10$ به بعد به عنوان فاز غالب خواهد بود و فاز XCP در کنار آن تا $pH = 12/2$ دیده می شود. از $pH = 11$ به بعد نشانه هایی از پیک های هیدروکسید کلسیم مشاهده می شود. در $pH = 12$ و ضعیت شبیه است و در بالاتر از $pH = 12$ در محلول نیترات کلسیم رسوی هیدروکسید کلسیم پدید می آید و محلول نیترات کلسیم را کدر می کند. بنابراین علاوه بر پیک های HA پیک های $Ca(OH)_2$ آشکارا دیده می شود. شکل ۱ الگوی XRD

تغییرات فاز را در فاصله $12 - 6$ pH محلول های واکنش کننده در رسوی حرارت ندیده نشان می دهد.

۲- ۳- طیف IR

در $pH = 8$ پاندهای جذبی PO_4^{3-} در اعداد موج $1629, 1121, 1066, 998, 891$ وجود مونتیت می کند [۱۳- ۱۴] و پاندهای جذبی همین گروه در اعداد موج 567 و $585cm^{-1}$ در کنار پاندهای جذبی آب در اعداد موج 3137 و $3400cm^{-1}$ مؤید وجود برآشیت است. پاندهای جذبی قوی نیترات آمونیوم در اعداد موج 1387 و $2400cm^{-1}$ در $pH = 9$ تمام pH ها وجود دارند. به دلیل آنکه سنتز در حضور گاز نیتروژن صورت گرفته است، پاندهای جذبی گروه CO_3^{2-} در اعداد موج 864 و $1450cm^{-1}$ دیده نمی شود. در $pH = 9$ پاندهای جذبی گروه PO_3^{3-} در اعداد موج 568 ، $1100cm^{-1}$ و $1022, 604$ مؤید ایجاد فاز جدیدی است. در این pH همانطور که مطالعات XRD نشان می دهد پاندهای جذبی XCP و HA و مونتیت دیده می شوند. در $pH = 9/5$ و $9/7$ پاندهای جذبی آب در اعداد موج 2151 و $1620cm^{-1}$ متعلق به فاز XCP است و نه برآشیت (زیرا در مطالعات XRD اثری از برآشیت وجود ندارد) و پاندهای جذبی PO_3^{3-} متعلق به مونتیت نیز در حال زوال هستند و فقط نشانه هایی از آن در اعداد موج 860 و $2400cm^{-1}$ دیده می شود و پاندهای جذبی گروه PO_3^{3-} حضوری قوی پیدا کرده اند و از طرف دیگر پاند جذبی OH^- در اعداد موج 630 و $3578cm^{-1}$ که مؤید حضور HA است در حال تکوین هستند.

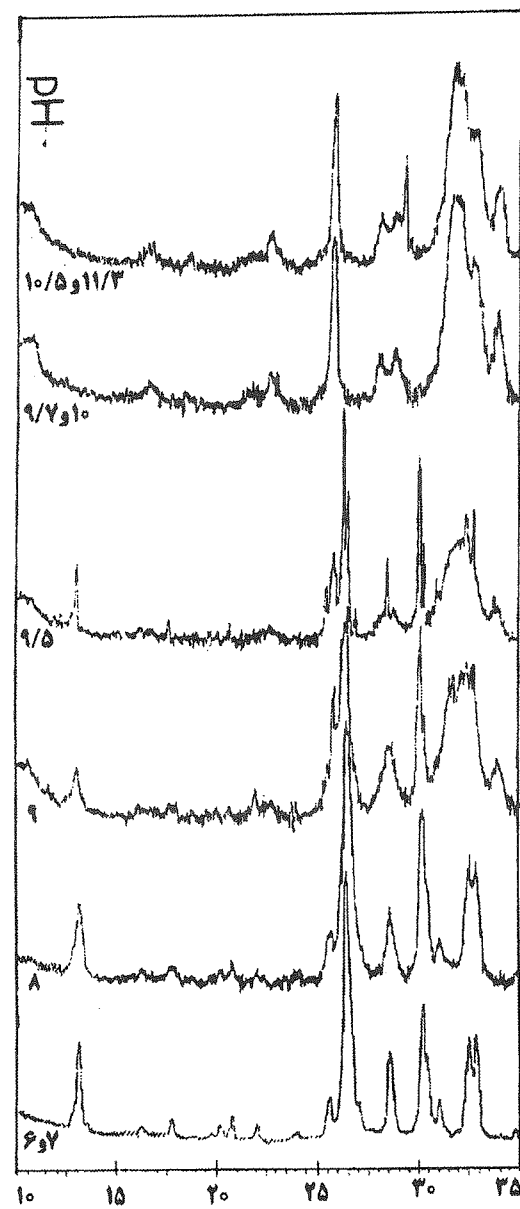
در $pH = 5$ تکیک پاندهای جذبی گروه PO_3^{3-} در اعداد موج $568, 604, 1020$ و $1095cm^{-1}$ از $pH = 9$ بهتر است و پاندهای جذبی OH^- در اعداد موج 630 و $3578cm^{-1}$ به خوبی دیده می شوند که دلیلی برای XCP تشکیل HA است و از طرفی وجود پاندهای جذبی در اعداد موج مذکور حضور کلسیم فسفات آمورف را تأیید می کند. در $pH = 9/5$ نیز وضعیت شبیه $pH = 5$ است و حضور HA و XCP در کنار هم قطعی است. در $pH = 10$ پاندهای جذبی PO_3^{3-} در اعداد موج 565 ، 603 و $1030, 1095cm^{-1}$ به خوبی دیده می شوند و پاند جذبی گروه OH^- در اعداد موج 630 و $3587cm^{-1}$ آشکار است. همچنان پاندهای جذبی آب در اعداد موج 3186 و $1646cm^{-1}$ در کنار پاندهای جذبی گروه PO_3^{3-} دلالت بر وجود XCP دارند. پاندهای جذبی PO_3^{3-} در



شکل (۲) الگوی IR تغییرات فاز با تغییرات pH محلول های واکنش کننده در رسوب حرارت نزدیده.

اعداد موج ۸۶۰ و 2400 cm^{-1} همچنان دیده می شوند. از pH ۱۰ به بالا وضعیت مشابه pH ۱۰ است جز آنکه در pH ۱۱ و pH ۱۲ وضعیت باندهای جذبی به نفع ساختار HA نیست. خلاصه آنکه از pH ۹ به بالا که HA تشکیل می شود، همواره فاز کلسیم فسفات آمورف (XCP) نیز در کنار آن قرار دارد. در فاصله pH ۹ - ۱۰ / ۵ حضور HA همراه با ناخالصی فازی است.

شکل ۲ الگوی IR تغییرات فاز با تغییرات pH واکنش کننده در رسوب حرارت نزدیده است.



شکل (۱) الگوی XRD تغییرات فاز با تغییرات pH محلول های واکنش کننده در رسوب حرارت نزدیده.

۳-۳- مطالعات ICP

تغییرات مقدار کلسیم به فسفر با تغییر pH محلول های واکنش کننده در جدول (۱) و شکل (۳) دیده می شود.

جدول (۱) تغییرات pH محلول های واکنش کننده در رسوب حرارت ندیده.

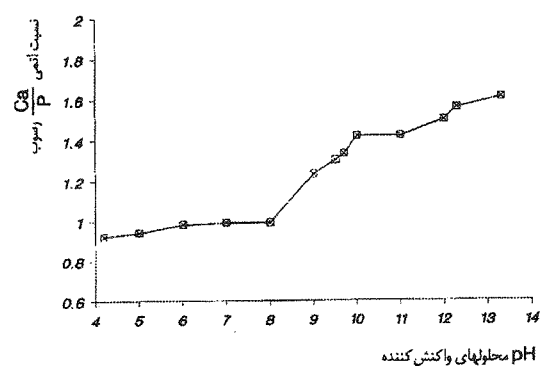
pH	۴/۲	۵	۶	۷	۸	۹	۹/۵	۹/۷	۱۰	۱۱	۱۲	۱۲/۳	۱۲/۲
Ca/P	۰/۹۲	۰/۹۴	۰/۹۸	۰/۹۹	۱/۲۲	۱/۳۰	۱/۲۲	۱/۴۲	۱/۴۲	۱/۵	۱/۵۶	۱/۶۱	۱/۶۱
تاریخ													

در این pH نشانه ای از پیک های CaO نیز وجود دارد. در pH ۱۲ وضعیت شبیه ۱۱ است.

شکل ۴ الگوی XRD تغییرات فاز با تغییرات pH محلول های واکنش کننده را در رسوب حرارت دیده نشان می دهد.

۵- طیف IR

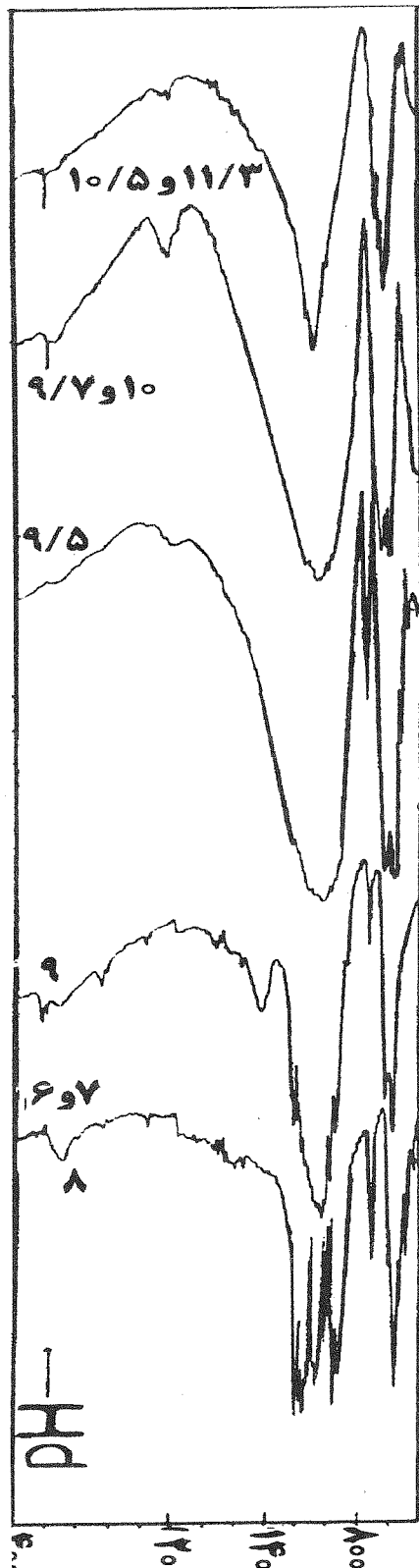
بررسی طیف IR در ۸-۶ pH باندهای جذبی گروه P₂O⁴₇- β است، در اعداد موج ۹۰۰-۱۰۵۰، ۷۲۵، ۶۱۱، ۵۵۸، ۴۹۴ cm⁻¹ نشان می دهد [۱۳ و ۱۴]. باند جذبی گروه PO³₄ در عدد موج ۹۷۲cm⁻¹ حضور TCP- β را ثابت می کند. در pH ۹ باندهای جذبی PO³₄ از باندهای P₂O⁴₇- β تقسیم شوند. باندهای جذبی PO³₄ در اعداد موج ۵۶۰، ۵۶۰، ۶۱۰ و ۱۱۰۰ cm⁻¹ و باندهای جذبی P₂O⁴₇ در اعداد موج ۷۲۵، ۴۹۴ و ۱۲۱۵cm⁻¹ دیده می شوند. در pH ۹/۵ باندهای جذبی PO³₄ در اعداد موج P₂O⁴₇- β مشاهده می گردد و باند جذبی PO³₄ نیز وجود دارد. در pH ۹/۷ باندهای جذبی PO³₄ وجود وضوح دیده می شوند و باندهای جذبی P₂O⁴₇- β دارد. در این pH باندهای جذبی HPO²₄ جانشین باندهای جذبی PO³₄ شده اند. در pH ۱۰ باند جذبی HPO²₄ در اعداد موج ۴۵۰ و حوالی ۱۲۰۰ cm⁻¹ وجود دارد و باند جذبی PO³₄ در اعداد موج ۶۰۳، ۵۷۳، ۴۷۶ و ۱۰۴۹، ۱۰۹۳cm⁻¹ در کنار باند جذبی OH در اعداد موج ۳۵۷۸ و ۶۳۰ cm⁻¹ حضور HA را ثابت می کند. در pH ۱۰/۵ طیف IR الگوی فاز HA است. باندهای جذبی PO³₄ در اعداد موج ۴۷۶، ۳۷۶، ۵۷۳، ۶۰۲ و ۱۰۴۹ cm⁻¹ و باندهای جذبی OH در اعداد موج ۶۳۰ و ۳۵۷۸cm⁻¹ مؤید حضور HA است. در ۱۲ و ۱۱ pH باند جذبی CaO در اعداد موج ۱۴۱۸cm⁻¹ و ۳۶۴۹



شکل (۳) تغییرات pH رسوب حرارت ندیده با تغییرات pH محلول های واکنش کننده

ب) مطالعه رسوب حرارت دیده (XRD)

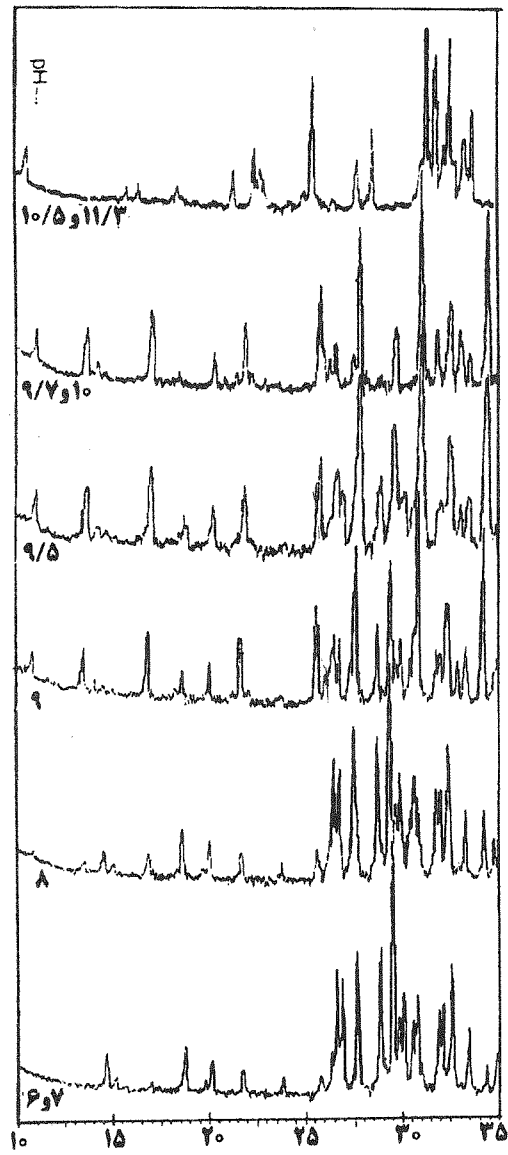
در فاصله pH ۶-۸ فاز غالب بتا - کلسیم پیروفسفات (Ca₂P₂O₇) و β-Ca₂P₂O₇ است و پیک های فاز بتا - تری کلسیم فسفات (Ca₃(PO₄)₂) و β-Ca₃(PO₄)₂ دیده می شوند. در pH ۸ فاز بتا - تری کلسیم فسفات (TCP - β) حضور بیشتری از ۷ و pH ۶ پیدا می کند . ولی همچنان فاز غالب بتا - کلسیم پیرو فسفات (PP - β) است. در pH ۹ پیک های مشترک بین PP - β و β-TCP تبدیل به پیک های TCP - β می شود و حضور β-TCP در این pH بسیار مشهود است. در pH ۹ رسوب حرارت ندیده XCP پدید آمده بود و HA در کنار آن دیده می شد. در pH ۷ از پیک های خبری PP - β نیست و پیک های اختصاصی β-TCP به وضوح دیده می شوند. در pH ۱۰ پیک های HA مشاهده می شوند و فاز pH ۱۰ β به عنوان ناخالصی فازی وجود دارد. در pH ۱۰ HA است و β-TCP به عنوان XRD کاملاً متعلق به HA است و β-TCP به عنوان ناخالصی فازی دیده می شود. در pH ۱۱ و pH ۱۲ وضعيت تبلور HA بسیار خوب است، ولی β-TCP نیز دیده می شود.



شکل (۵) الگوی IR تغییرات فاز با تغییرات pH
 محلول های واکنش کننده در رسوب حرارت دیده.

می کند. باندهای جذبی $P_2O_4^4$ دیده می شوند. ولی گروه HPO_4^{2-} نیز وجود دارند که جانشینی $PO_4^{3-} \rightarrow PO_4^{3-}$ را ثابت می کند که یکی از علل عدم از استوکیومتری است و منجر به تشکیل آپاتیت فقیر از کلسیم می شود. [۱۵]

همانطور که در طیف IR در pH ۱۱ دیده می شود، pH ۱۲/۳ افزایش pH به نفع تشکیل HA نیست. در ۲ خطر تشکیل CaO وجود دارد که در طیف IR مشاهده می گردد. شکل ۵ طیف IR تغییرات فاز را با تغییرات pH واکنش کننده ها در رسوب حرارت دیده نشان می دهد.

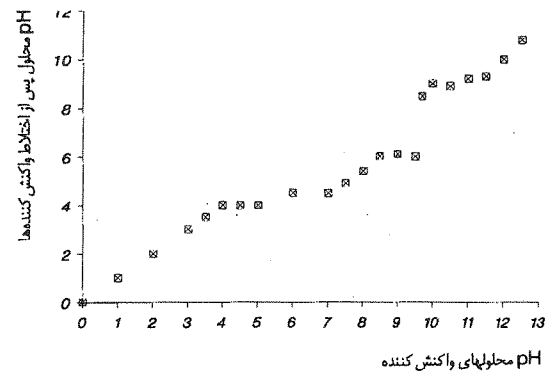


شکل (۶) الگوی XRD تغییرات فاز با تغییرات pH
 محلول های واکنش کننده در رسوب حرارت دیده.

(مونتیت، XCP و HA) در کنار هم قرار دارند و از $pH > 10$ حضور فاز HA مشهود است ولی XCP در کنار آن دیده می‌شود. وضعیت مذکور در فاصله ۱۲ - pH ۱۰ یکسان است، بنابراین $11 - 10/5$ برای تهیه HA توصیه می‌گردد. زیرا با افزایش pH احتمال تشکیل $\text{Ca}(\text{OH})_2$ تشدید می‌شود. در نمونه‌های حرارت دیده در $8 - 6$ pH فاز β -PP غلبه دارد. بنابراین محدوده مناسب برای تهیه آن حرارت دادن رسوب به دست آمده از pHV است. در فاصله $10 - 8$ pH که چند فاز کلسیم فسفاتی در کنار هم پدید می‌آیند، محدوده مناسب برای تهیه هیچیک از فازها نیست. در این فاصله β -TCP، β -PP و HA در کنار هم قرار دارند. در $12 - 10/5$ pH حضور HA بسیار مشهود است، اما همچنان با β -TCP به عنوان ناخالصی فازی همراه می‌باشد.

مقدار Ca/P در رسوب به دست آمده در $12 - 10/5$ pH از مقدار $1/67$ که مستناظر با نسبت اتمی Ca/P هیدروکسی آپاتیت است، کمتر می‌باشد که دلیل آن جانشینی PO_4^{3-} $\rightarrow \text{HPO}_4^{2-}$ و تشکیل آپاتیت غیراستوکیومتری و همچنین همراه بودن فاز کلسیم فسفات آمورف در نمونه حرارت ندیده و در نتیجه β -TCP در نمونه حرارت دیده است. با افزایش pH بر میزان تبلور فاز HA افزوده می‌شود، ولی احتمال تشکیل CaO افزایش می‌یابد. بنابراین $11 - 10/5$ pH محدوده مناسب برای تهیه HA است.

در شکل ۶ تغییرات pH محصول با تغییرات pH واکنش کننده‌ها دیده می‌شود.



شکل (۶) تغییرات pH محصول با تغییرات pH
محولهای واکنش کننده

۴- نتیجه‌گیری

در محدوده $4 \leq pH < 10$ به دلیل بالا بودن ثابت تفکیک نمک‌های مواد اولیه، رسوبی به دست نمی‌آید و بین pH محصول و pH واکنش کننده‌ها رابطه خطی برقرار است و در فاصله $4 \leq pH < 6$ مقدار رسوب جهت آنالیز دستگاهی کم است.

مطالعه رسوب‌های حرارت ندیده در فاصله $6 \leq pH < 13/3$ نشان می‌دهد که در فاصله $8 - 6$ pH فاز مونتیت پدید می‌آید و pHV جهت تهیه آن مناسب است. در فاصله $8 - 10/5$ pH چند فاز کلسیم فسفاتی

مراجع

- [1] Larry L.Hench, "Bioceramics: from Concept to Clinic", J. Am. Ceram. Soc, 74 [7] 1487-510 (1991). "
- [2] A. Ravaglioli & A. Krajewski, "Bioceramics: Materials, Properties, Applications," Chapman & Hall, pp. 173 - 182 (1992).
- [3] Zoltan Bako & Ildiko Kotsis, "Composition of Precipitated Calcium Phosphate Ceramics," Ceram. Inter. 18, 373-378 (1992).
- [4] Klass de Groot, "Clinical Application of Calcium Phosphate Biomaterials: A Review," Ceram. Inter. 19, 363-366 (1993).
- [5] Klass de Groot, "Bioceramics of Calcium Phosphates," CRC, Press, Inc, Boca Raton, Florida, (1980).
- [6] G. Motel, G. Bonel, J. C. Heughebaret, J. C. Trombe & C. Rey, "New Concepts in the Composition, Crystallization and Growth of the Mineral Component of Calcified Tissues," J. Crys. Grow. 53, 74 - 99 (1981).
- [7] D. de Groot, " Bioceramics Consisting of Calcium Phosphate Salts," Biomaterials, Vo 19, 47 - 50 (1980).
- [8] Norman C. Blumenthal & Aron S. Ponser, " Hydroxyapatite : Mechanism of Formation and Properties," Calcif. Tiss. Res. 13, 235 - 243 (1973).

- [9] E. Lerner, S. Sarig & R. Azoury, "Enhanced Maturation of Hydroxyapatite from Aqueous Solution Using Microwave Irradiation", "J. Mater. Sci. Mater. Med. 2, 138-141 (1991).
- [10] M. Jarcho, C.H. Bolen, M. B. Thomas, J. Bobick, J. F. Kay & R.H. Doremus, "Hydroxyapatite Synthesis and Characterization in Dense Polycrystalline Form," J. Mater. Sci. 11, 2027 - 2035 (1976).
- [11] A. Osaka, Y. Miura, K. Taekuchi, M. Asada & K. Takahashi, " Calcium Apatite Prepared from Calcium Hydroxide and Orthophosphoric Acid" , J. Mater. Sci. Mater. Med. 2, 51-55 (1991).
- [12] R. A. Young & D. W. Holcomb, "Variability of Hydroxyapatite Preparations," Calcif. Tiss. Res, 34: 397-332 (1982).
- [13] A Bertoluzza, S. Cacciari, A. Tipti, m. Vasina & M.A. Morelli "FTIR and Raman Spectra of Bioceramics Obtained by an Innovative Method," J. Mater. Sci, Mater. Med. 6, 76-79 (1995).
- [14] J.A. Gadsden, "Infrared Spectra of Minerals and Related Inorganic Compound," Butterworths, 133-144 (1975).
- [15] J. W. Mellor & D.Sc. F. R.S, "Inorganic and Theoretical Chemistry," Longmans, Green and Co. VOLIII, pp. 880-893 (1967).